



## تأثیر عدم قطعیت پارامترهای خاک بر روی پاسخ دینامیکی زمین با استفاده از تئوری میدان تصادفی

حسن نیکپور، امیر بذرافشان مقدم\*

دانشکده مهندسی عمران، دانشگاه صنعتی شهرورد، شهرورد، ایران.

**تاریخچه داوری:**

دریافت: ۱۴۰۰/۰۴/۱۲

بازنگری: ۱۴۰۱/۰۴/۰۹

پذیرش: ۱۴۰۱/۰۴/۱۰

ارائه آنلاین: ۱۴۰۱/۰۴/۱۵

**كلمات کلیدی:**

عدم قطعیت

میدان تصادفی

شبیه‌سازی مونت کارلو

ضریب بزرگنمایی دینامیکی

**خلاصه:** امواج لرزه‌ای ناشی از وقوع زلزله در هنگام عبور از لایه‌های مختلف خاک دستخوش تغییرات زیادی می‌شوند. به همین جهت با استی اثرات پارامترهای خاک را بر روی پاسخ دینامیکی زمین در نظر گرفت. پارامترهای موجود در یک لایه خاک ناهمگن تحت تأثیر مجموعه‌ای از عدم قطعیت‌ها هستند که در این تحقیق تغییرپذیری ذاتی پارامتر مدول برشی خاک در نظر گرفته شده است. در این پژوهش با استفاده از تئوری میدان تصادفی و روش تفاضل محدود در چارچوب شبیه‌سازی‌های مونت کارلو، تأثیر تغییرپذیری مکانی دو بعدی پارامتر مدول برشی خاک بر روی ضریب بزرگنمایی حداکثر شتاب زمین و طیف پاسخ شتاب سطح مورد بررسی قرار گرفته است. در تحلیل‌های یقینی مرسوم، فقط یک مقدار ثابت میانگین مدول برشی در مدل دینامیکی در نظر گرفته می‌شود، ولی در تحلیل‌های تصادفی، پارامتر مدول برشی خاک به عنوان یک متغیر تصادفی در نظر گرفته می‌شود. نتایج به دست آمده از تحلیل‌ها نشان می‌دهد با افزایش ناهمگنی و تغییرات در مدول برشی خاک، مقادیر ضریب بزرگنمایی حداکثر شتاب زمین کاهش می‌یابد. همچنین با افزایش ضریب تغییرات مدول برشی خاک و در نتیجه افزایش ناهمگنی پروفیل خاک، طیف پاسخ شتاب سطح پروفیل خاک حاصل از تحلیل‌های تصادفی کاهش می‌یابد.

### ۱- مقدمه

شده است که در ادامه تعدادی از این مطالعات شرح داده خواهد شد. راتود و همکاران [۲] از روش شبیه‌سازی مونت کارلو جهت مدل‌سازی عدم قطعیت‌های مختلف خاک در پارامترهای ورودی استفاده کردند. عدم قطعیت‌ها شامل محرک ورودی زمین، سرعت موج برشی، ضخامت لایه و خواص غیرخطی خاک در تحلیل‌ها بودند. ترن و همکاران [۱] در سال ۲۰۱۸ اثر تغییرات احتمالاتی خصوصیات خاک مانند لایه‌بندی، سرعت موج برشی، منحنی‌های میرایی و کاهش مدول برشی بر روی پاسخ دینامیکی ساختگاه بررسی کردند. هابر و همکاران [۳] اثرات تغییرپذیری مکانی سرعت موج برشی را با استفاده از تئوری میدان تصادفی بر روی تغییرپذیری مکانی حرکات سطحی زمین مورد بررسی قرار دادند.

تفاوت مطالعات فوق با تحقیق حاضر در استفاده محققین از روش‌های قابلیت اطمینان تجربی و تئوری مختلف به منظور در نظر گرفتن تغییرات مکانی ویژگی‌های خاک است که در این تحقیق سعی شده است تا با استفاده از تئوری میدان تصادفی در ترکیب با روش تفاضل محدود در چارچوب

تحلیل پاسخ دینامیکی زمین یک روش مهم برای شبیه‌سازی امواج لرزه‌ای است که با عبور از لایه‌های خاک از سنگ بستر به سطح زمین می‌رسند. پاسخ دینامیکی زمین تابعی از مشخصات خاک است و عدم قطعیت در ویژگی‌های خاک که مقادیر آن در هر نقطه‌ای از خاک متفاوت است بر روی پاسخ دینامیکی زمین تأثیر به سزایی دارد. در بیشتر ساختگاه‌ها، ویژگی‌های خاک محلی مانند لایه‌بندی، سرعت موج برشی ( $V_s$ )، منحنی‌های میرایی و کاهش مدول برشی پاسخ دینامیکی خاک را کنترل می‌کنند و تأثیر قابل توجهی بر لرزش زمین دارند [۱]. به همین دلیل در این مطالعه سعی شده است تا با تصادفی در نظر گرفتن مدول برشی خاک به عنوان یک پارامتر مؤثر بر روی سرعت موج برشی خاک، تأثیر عدم قطعیت مدول برشی و در نتیجه سرعت موج برشی خاک بر روی پاسخ دینامیکی زمین مشخص شود. مطالعات پیشین جهت ارزیابی پاسخ خاک با در نظر گرفتن عدم قطعیت در ویژگی‌های خاک محلی توسط محققین زیادی انجام

\* نویسنده عهدهدار مکاتبات: amir.bazrafshan@shahroodut.ac.ir

(Creative Commons License) حقوق مؤلفین به نویسنده‌گان و حقوق ناشر به انتشارات دانشگاه امیرکبیر داده شده است. این مقاله تحت لیسانس آفرینندگی مردمی (Creative Commons License) در دسترس شما قرار گرفته است. برای جزئیات این لیسانس، از آدرس <https://www.creativecommons.org/licenses/by-nc/4.0/legalcode> دیدن فرمائید.

2D و در چارچوب شبیه‌سازی مونت کارلو مدل‌سازی شده است.

## ۲- منابع اصلی عدم قطعیت در مهندسی ژئوتکنیک

عدم قطعیت موجود در پیش‌بینی پاسخ سیستم‌های ژئوتکنیکی پیشامدی بسیار پیچیده است که از عوامل گوناگونی ناشی می‌شود. ویژگی‌های خاک در لایه‌هایی که همگن نامیده می‌شوند از نقطه‌های به نقطه دیگر تعییر می‌کنند. تعییرپذیری ویژگی‌های اندازه‌گیری شده خاک در این لایه‌ها ناشی از منابع مختلفی هست. سه منبع اصلی عدم قطعیت در پارامترهای طراحی ژئوتکنیکی عبارت‌اند از [۴]: تعییرپذیری مکانی ذاتی خاک، خطاهای اندازه‌گیری و عدم قطعیت انتقالی که در ادامه توضیح داده خواهد شد.

تعییرپذیری مکانی ذاتی، حاصل از فرآیندهای زمین‌شناسی نظریه‌نشینی، هوازدگی فیزیکی، شیمیایی و بیولوژیکی، خشک شدنگی، تحکیم، سیمانی شدن، آبشویی و غیره است که به طور پیوسته توده خاک درجا را تعییر می‌دهند و باعث به وجود آمدن عدم قطعیت اجتناب‌ناپذیری در مسائل ژئوتکنیکی می‌شود [۶ و ۵]. اندازه‌گیری ناشی از تجهیزات، کاربر، روند آزمایش و اثرات آزمایش‌های تصادفی است که دومین عامل مهم در تعییرپذیری خاک است. منبع سوم عدم قطعیت، عدم قطعیت انتقالی است که زمانی معرفی می‌شود که اندازه‌گیری‌های صحرایی یا آزمایشگاهی به خصوصیات خاک طراحی با استفاده از مدل‌های تجربی یا همبستگی تبدیل شوند [۴]. از این سه نوع عدم قطعیتی که در بالا ذکر شده است، تعییرپذیری ذاتی مکانی در این تحقیق در نظر گرفته شده است.

## ۳- تئوری میدان تصادفی

همان‌طور که در بخش قبلی نیز به آن اشاره شد پارامترهای خاک دارای تعییرپذیری مکانی ذاتی می‌باشند، بدین مفهوم که این پارامترها از نقطه‌ای به نقطه دیگر تعییر می‌کنند. اگر پارامتر مورد نظر تنها با یک متغیر تصادفی واحد مدل‌سازی شود، تعییرات مکانی پارامتر نمی‌تواند در نظر گرفته شود. به همین منظور جهت در نظر گرفتن تعییرپذیری مکانی ذاتی پارامترهای خاک، از تئوری میدان تصادفی استفاده شده و این پارامترها به صورت یک میدان تصادفی مدل می‌شوند. کاربرد تئوری میدان تصادفی توسط Vanmarcke [۷] پیشنهاد گردید. او بیان کرد که سه مشخصه برای بیان پارامتر تصادفی خاک مورد نیاز است:

۱. میانگین پارامتر تصادفی خاک ( $\mu$ )

۲. انحراف استاندارد ( $\sigma$ ) یا ضریب تعییرات (cov) که هر کدام از این پارامترها میزان پراکندگی و تعییرات پارامتر مورد مطالعه نسبت به مقدار

شبیه‌سازی‌های مونت کارلو این تعییرات مکانی در نظر گرفته شود.

در مهندسی زلزله، معمولاً هیچ داده‌ای در مورد ویژگی‌های تصادفی خاک محلی مانند ضخامت لایه، سرعت موج بر Shi، چگالی و مدول بر Shi به علت عدم قطعیت خصوصیات و ویژگی‌های خاک در دسترس نیست؛ بنابراین لازم و ضروری است که یک روش شبیه‌سازی برای فرآیندهای عدم قطعیت در نظر گرفته شود. روش‌های قابلیت اطمینان مختلفی برای تحلیل پاسخ زمین وجود دارند که بر اساس عدم قطعیت ویژگی‌های خاک است. این روش‌ها را می‌توان به پنج دسته شبیه‌سازی مونت کارلو (MCS)، روش‌های مبتنی بر اجزای محدود (FEM)، تئوری ارتعاش تصادفی (RVT)، روش‌های ارزیابی تقریبی و روش‌های زمین‌آماری تقسیم‌بندی نمود.

هدف از این مقاله بررسی تعییرات مکانی پارامترهای خاک در تحلیل دینامیکی پاسخ زمین بر روی ضریب بزرگنمایی حداکثر شتاب زمین و طیف پاسخ شتاب سطح زمین است. پارامتر خاک مورد نظر در این مقاله مدول بر Shi خاک می‌باشد که با استفاده از تئوری میدان تصادفی عدم قطعیت ذاتی این پارامتر و تعییرپذیری مکانی آن در پروفیل خاک در نظر گرفته شده است. تفاوت پژوهش حاضر با مطالعات پیشین در پارامترهای خروجی متفاوت مورد بررسی (ضریب بزرگنمایی حداکثر شتاب زمین و طیف پاسخ شتاب سطح زمین)، استفاده از یک مدل رفتاری خاک متفاوت (CHSoil) در مدل‌سازی عددی است که در ادامه به بررسی این مدل رفتاری پرداخته شده است و همچنین استفاده از یک روش متفاوت در تولید میدان تصادفی (تجزیه ماتریس کوواریانس) به منظور بررسی اثر تعییرات مکانی مدول بر Shi خاک بر روی پارامترهای خروجی است که در این روش تاثیر طول همبستگی ناهمسان و دو بعدی مدول بر Shi خاک و همچنین تاثیر ضرایب تعییرات مختلف مدول بر Shi خاک بر روی پارامترهای خروجی لحاظ گردیده است که در مطالعات قبلی تأثیر این دو ویژگی در نظر گرفته نشده بود.

توزیع آماری این پارامتر در این مقاله توزیع لوگ نرمال است. علت در نظر گرفتن این توزیع برای پارامتر مدول بر Shi به این جهت است که در توزیع لوگ نرمال امکان منفی شدن مقدار یک پارامتر وجود ندارد و از طرف دیگر این واقعیت که پارامترهای خاک از نظر فیزیکی همواره دارای مقادیر مثبت می‌باشند به اثبات رسیده است، بنابراین مطلوب است که از توزیع لوگ نرمال استفاده شود.

در این مطالعه یک پروفیل خاک بر اساس طبقه‌بندی نوع زمین در آیین نامه ۲۸۰۰ با استفاده از تلفیق تئوری‌های میدان تصادفی و تفاصل محدود به کمک زبان برنامه‌نویسی FLAC در نرم‌افزار ژئوتکنیکی FISH

$$\rho(X_1, X_2) = \frac{Cov(X_1, X_2)}{\sigma^2} = \frac{1}{\sigma^2} E[X_1 X_2] - \mu^2 \quad (2)$$

در جدول ۱ تعدادی از توابع همبستگی رایج که در مراجع بیشتر مورد استفاده قرار گرفته‌اند آورده شده است که در این جدول  $L$  طول همبستگی و  $\Delta$  فاصله بین دو نقطه  $t^*$  و  $t'$  است. مشخصه اصلی تابع همبستگی، طول همبستگی است و به عنوان فاصله مورد نیاز برای اینکه تابع همبستگی از  $e^{-t/(0.3679)}$  تنزل کند [۹]. هر اندازه که طول همبستگی بزرگ‌تر باشد خاک در آن جهت همگن‌تر بوده و تغییرات نسبت به مکان کمتر است. طول همبستگی برای پارامترهای مختلف خاک متفاوت است و همچنین اگر از توابع همبستگی در دو بعد افق و قائم استفاده شود طول‌های همبستگی در جهات افقی و قائم با یکدیگر تفاوت دارند. در این مطالعه تابع همبستگی مورد استفاده، تابع همبستگی نمایی دو بعدی است که به صورت رابطه زیر تعریف می‌شود [۱۱]:

$$\rho(\Delta x, \Delta y) = \exp\left(-\frac{|\Delta x|}{L_x} - \frac{|\Delta y|}{L_y}\right) \quad (3)$$

که در رابطه فوق،  $\Delta x$  و  $\Delta y$  فاصله بین نقاط در راستای افقی و قائم و  $L_x$  و  $L_y$  طول همبستگی در راستای افق و قائم می‌باشند. الرملی و همکاران بیان کردند که طول همبستگی عمودی از ۱ تا ۳ متر متغیر است در حالی که طول همبستگی افقی بزرگ‌تر بوده و در محدوده بین ۱۰ تا ۴۰ متر قرار دارد [۱۲].

**۳-۲- تولید میدان تصادفی همبسته به روش تجزیه ماتریس کوواریانس**  
میدان تصادفی همبسته عبارت است از میدان تصادفی که در آن مقادیر پارامتر تصادفی خاک در طول‌های همبستگی مشخصی در راستای افق و قائم به یکدیگر همبستگی و وابستگی دارند. جهت تولید میدان تصادفی همبسته روش‌های مختلفی وجود دارد که از آن جمله می‌توان به روش میانگین متحرک، حوزه میانگین محلی، انتقال فوریه سریع و تجزیه ماتریس کوواریانس اشاره کرد که در این تحقیق از روش تجزیه ماتریس کوواریانس استفاده شده است. دلیل استفاده از این روش در تحقیق حاضر این است که این روش می‌تواند یک میدان تصادفی همبسته از نظر آماری را با روابط بسیار صریح و مشخصی بین پارامترهای آماری مفروض و میدان تصادفی متناظر با آن شامل طول همبستگی از پیش تعیین

میانگین را نشان می‌دهند که محدوده ضربی تغییرات پارامترهای مقاومتی انواع خاک‌ها معمولاً بین ۱۰ تا ۸۰ درصد است.

**۳- طول همبستگی (مقیاس نوسان)** برای محاسبه فاصله‌ای که پارامتر خاک از نقطه‌ای به نقطه دیگر همبستگی نسبت زیادی را نشان می‌دهد.

### ۱- ساختار همبستگی

ساختار همبستگی به این شکل است که ابتدا یک موقعیت خاص  $t^*$  در فضا که این فضا می‌تواند خاک باشد و یک پارامتر تصادفی  $X$  که در این مطالعه مدول برشی خاک است در نظر گرفته می‌شود. مقدار مدول برشی خاک در این نقطه،  $X(t^*) = X^*$ ، یک مقدار تصادفی است. سپس موقعیت دیگری در خاک که با  $t'$  نشان داده می‌شود در نظر گرفته می‌شود که از نقطه  $t^*$  به اندازه  $d = t^* - t'$  فاصله دارد. مقدار مدول برشی خاک نیز در این نقطه  $X(t') = X'$  تصادفی خواهد بود. مقادیر دو متغیر تصادفی  $(t^*, X^*)$  و  $(t', X')$  مقداری همبستگی با یکدیگر دارند که با افزایش فاصله نقاط  $t^*$  و  $t'$  از هم‌دیگر این همبستگی کاهش می‌یابد [۸]. به این همبستگی بین پارامترهای خاک در مکان‌های مختلف همبستگی مکانی گفته می‌شود که این همبستگی مکانی را می‌توان توسط تابع خودهمبستگی بیان کرد که در این تحقیق به اختصار تابع همبستگی بین می‌شود. تابع همبستگی برای پارامتر تصادفی خاک ( $X$ ) در دو مکان  $t^*$  و  $t'$  به صورت رابطه (۱) تعریف می‌شود [۹ و ۱۰].

$$\rho(X_1, X_2) = \frac{Cov(X_1, X_2)}{\sigma_{X_1} \sigma_{X_2}} = \frac{1}{\sigma_{X_1} \sigma_{X_2}} E[(X_1 - \mu_{X_1})(X_2 - \mu_{X_2})] \quad (1)$$

که در رابطه فوق،  $Cov(x_1, x_2)$  تابع کوواریانس دو متغیر  $X_1$  و  $X_2$  و  $E$  امید ریاضی است.  
از آنجایی که میدان تصادفی متشکل از یک تعداد بی‌نهایت پارامتر تصادفی خاک به ازای هر نقطه در فضا  $(X_1, X_2, \dots, X_k)$  است، جهت ساده‌سازی رابطه (۱) فرض می‌شود که تابع همبستگی فقط به موقعیت نسبی نقاط بستگی دارد و مستقل از موقعیت مکانی است که این فرض ایستایی یا همگنی آماری نامیده می‌شود و دلالت بر این دارد که میانگین و انحراف استاندارد در مکان‌های مختلف برابر است [۸]، لذا رابطه (۱) به رابطه (۲) تبدیل می‌گردد:

### جدول ۱. توابع همبستگی یک بعدی رایج [۸ و ۱۰]

Table 1. Typical one-dimensional correlation functions [8, 10]

تابع همبستگی	تابع همبستگی
$\rho(\Delta) = \begin{cases} 1 & \text{if } \Delta \leq L \\ 0 & \text{otherwise} \end{cases}$	نویز سفید ایده‌آل
$\rho(\Delta) = \begin{cases} 1 - \frac{ \Delta }{L} & \text{if }  \Delta  \leq L \\ 0 & \text{otherwise} \end{cases}$	مثلثی (خطی)
$\rho(\Delta) = \exp\left(-\frac{ \Delta }{L}\right)$	نمایی
$\rho(\Delta) = \exp\left(-\pi\left(\frac{ \Delta }{L}\right)^2\right)$	گوسی
$\rho(\Delta) = \exp\left(-2\frac{ \Delta }{L}\right)$	مارکوف

$$C = \sigma^2 \exp\left(-\frac{|\Delta x|}{L_x} - \frac{|\Delta y|}{L_y}\right) \quad (6)$$

با توجه به اینکه در این مطالعه پارامتر مدول برشی خاک به عنوان پارامتر تصادفی در نظر گرفته شده است و همان‌طور که در بخش یک نیز به آن اشاره شد توزیع آماری این پارامتر لگاریتم نرمال است، جهت تولید یک میدان تصادفی مدول برشی با توزیع لگاریتم نرمال رابطه (۶) به رابطه (۷) تغییر می‌باید [۱۳]:

$$G = \exp(\mu_{\ln G} + L \cdot \varepsilon) \quad (7)$$

که در این رابطه  $\mu_{\ln G}$  از روابط (۸) و (۹) حاصل می‌شود [۱۳]:

$$\sigma_{\ln G}^2 = \ln\left(1 + \frac{\sigma_G^2}{\mu_G^2}\right) = \ln(1 + COV_G^2) \quad (8)$$

$$\mu_{\ln G} = \ln \mu_G - \frac{1}{2} \sigma_{\ln G}^2 \quad (9)$$

که در این روابط  $\mu_G$  و  $\sigma_G$  به ترتیب میانگین و انحراف استاندارد مدول برشی خاک و  $COV_G$  ضریب تغییرات مدول برشی خاک است.

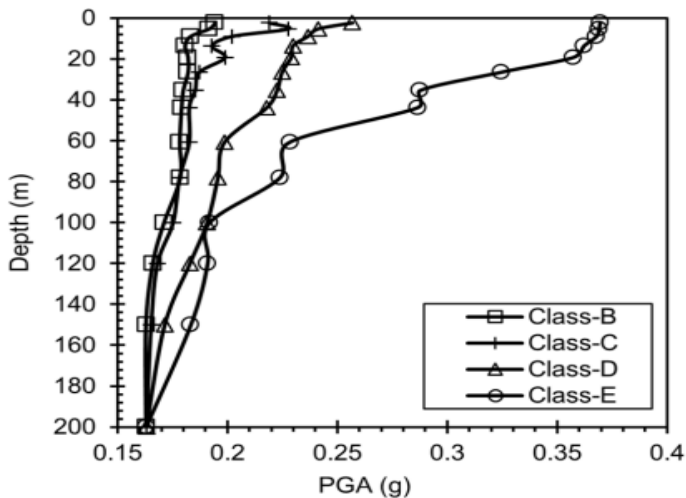
شده، مدل کند. همچنین روش تجزیه ماتریس کوواریانس اجازه در نظر گرفتن طول‌های همبستگی ناهمسان دو بعدی و ضرایب تغییرات مختلف پارامترهای خاک را می‌دهد [۱۳ و ۶]. روش تجزیه ماتریس کوواریانس، ماتریس چند بعدی را تولید می‌کند که کاهش نمایی تابع کوواریانس را نسبت به فاصله بین نقاط در بردازد. سپس مقادیر تولید شده در این روش می‌توانند به عنوان داده‌های ورودی برای کاربرد در روش مونت‌کارلو استفاده شوند [۱۳]. با استفاده از رابطه (۴) می‌توان یک میدان تصادفی نرمال همبسته را تولید نمود که این رابطه به شکل زیر است [۶]:

$$G = L \cdot \varepsilon + \mu \quad (4)$$

که در رابطه فوق،  $L$  ماتریس پایین مثلثی حاصل از تجزیه ماتریس کوواریانس به دو ماتریس پایین مثلثی و بالا مثلثی با استفاده از روش تجزیه چولسکی به صورت رابطه (۵) است و  $\varepsilon$  برداری از اعداد تصادفی با توزیع نرمال (میانگین صفر و انحراف استاندارد یک) است.

$$C = LL^T \quad (5)$$

که در رابطه (۵)  $T$  ترانهاده است و  $C$  ماتریس کوواریانس است که با استفاده از رابطه (۶) که تجزیه شده رابطه (۲) است محاسبه می‌شود [۶].



شکل ۱. تغییرات مقدار شتاب بیشینه زمین (PGA) در طول عمق تحت زلزله ۲۰۱۵ نپال برای ساختگاه‌های مختلف [۱۸]

**Fig. 1. Changes in the value of the peak ground acceleration (PGA) with depth for the 2015 Nepalean earthquake for different site classes [18]**

دهنه یک حقیقی‌سازی احتمالی از تغییرات مکانی خصوصیات خاک در سراسر ناحیه مورد تحلیل است.

۴- مرحله آخر تحلیل اجزای محدود قطعی با انجام تحلیل‌های متوالی با استفاده از توابع نمونه‌ای که شامل تغییرات مکانی خصوصیات خاک که در مرحله قبل تولید شدند، است.

#### ۵- ضریب بزرگنمایی دینامیکی

یکی از مهم‌ترین مشخصه‌های هر زلزله شتاب حداکثر (PGA) یک زلزله است که از روی منحنی شتاب‌نگاشت آن استخراج می‌گردد. لایه‌های خاک به ویژه لایه‌های آبرفتی نسبت به حرکت سنگبستر حساس بوده، به طوری که با تغییر این شتاب تغییرات قابل ملاحظه‌ای در پاسخ دینامیکی آن‌ها به وجود می‌آید [۱۵]. از طرفی دیگر مهم‌ترین عامل به وجود آمدن آسیب‌های سازه‌ای در حین وقوع زلزله دست کم گرفتن مقدار شتاب حداکثر (PGA) است. همان‌طور که در شکل ۱ نیز قابل مشاهده است شتاب بیشینه سنگ بستر با عبور از لایه‌های خاک و رسیدن به سطح زمین افزایش می‌یابد. به همین منظور محققین پارامتری را تعریف کردند که ضریب بزرگنمایی دینامیکی (DAF) نامیده شده و عبارت است از نسبت بین شتاب حداکثر در سطح زمین به شتاب حداکثر در سنگ بستر [۱۶ و ۱۷]. این ضریب پارامتری مورد نیاز جهت تخمین اینکه شتاب

#### ۴- روش شبیه‌سازی مونت کارلو

شبیه‌سازی مونت کارلو روشی است که با انتخاب تصادفی پارامترهای ورودی مناسب با تابع چگالی احتمال مشترک فرایندهای تصادفی به دنبال شبیه‌سازی این فرایندها است. روش مونت کارلو، روشی بسیار قدرتمند و انعطاف‌پذیر است و می‌تواند برای طیف وسیعی از مسائل به کار رود. همچنین استفاده از آن بسیار ساده است و اگر شبیه‌سازی به اندازه کافی انجام شود، می‌تواند بسیار دقیق باشد. در این روش نمونه‌هایی از متغیرهای ورودی احتمالاتی تولید می‌شوند و ترکیبات تصادفی آن‌ها برای انجام تعدادی محاسبات قطعی استفاده می‌شود. سپس اطلاعات در مورد توزیع و ممان‌های متغیر پاسخ از شبیه‌سازی‌های حاصل به دست می‌آید. مراحل شبیه‌سازی مونت کارلو به شرح زیر است [۱۴]:

۱- اولین مرحله از شبیه‌سازی مونت کارلو شناسایی یک مدل قطعی است که در آن از متغیرهای ورودی متعدد برای تخمین یک مقدار خروجی واحد استفاده می‌شود.

۲- مرحله دوم تعیین مشخصه‌های احتمالاتی خصوصیاتی از خاک است که تغییرپذیری مکانی دارند که می‌توان به مقدار میانگین (رونده)، تابع چگالی احتمال و تابع خودهمبستگی اشاره کرد.

۳- در مرحله بعدی توابع نمونه از میدان تصادفی با خصوصیات احتمالی تخمین شده در مرحله دوم تولید می‌شوند. هر تابع نمونه تولید شده نشان

## جدول ۲. مشخصات زلزله‌های حوزه نزدیک ورودی [۱۹]

Table 2. Properties of input near field earthquakes [19]

نام زلزله	نام ایستگاه	سال وقوع	بزرگی ریشتر	حداکثر شتاب (g)
Cape Mendocino	Petrolia	۱۹۹۲	۷	۰/۶۳
Northridge	LA - Sepulveda VA	۱۹۹۴	۶/۷	۰/۷۳

## جدول ۳. مشخصات زلزله‌های حوزه دور ورودی [۱۹]

Table 3. Properties of input far field earthquakes [19]

نام زلزله	نام ایستگاه	سال وقوع	بزرگی ریشتر	حداکثر شتاب (g)
Landers	Coolwater	۱۹۹۲	۷/۳	۰/۴۲
Loma Prieta	Gilroy Array #3	۱۹۸۹	۶/۹	۰/۵۶

نرمافزار FLAC 2D است. از آنجایی که معمولاً خاک‌ها در معرض تنش انحرافی، کاهش سختی را همراه با تغییر شکل برگشت‌ناپذیر نشان می‌دهند، به منظور شبیه‌سازی این رفتار تنش-کرنش هذلولی معمولاً از مدل رفتاری معروف duncan-chang استفاده می‌شود. با این حال، این مدل دارای ایراداتی است که شامل موارد زیر است [۲۰]:

- ممکن است باعث ایجاد رفتار غیرواقعی در خاک در زمان گسیختگی و بعد از آن شود.
- روابط به کار رفته در این مدل تغییر حجم ناشی از تغییر در تنش برشی را در نظر نمی‌گیرد.
- روابط یک رفتار یکنواخت را در صفحه پیش‌بینی می‌کنند که همیشه واقع بینانه نیست ( مقاومت خاک در تراکم و انبساط سه محوره معمولاً از نظر مقدار متفاوت است).

simplified cyosoil به همین جهت در این مطالعه از مدل رفتاری (CHSoil) ارائه شده در نرم‌افزار FLAC 2D در مدل‌سازی پروفیل خاک به عنوان جایگزینی برای مدل دانکن و چانگ، استفاده شده است که معایب این مدل را ندارد. این مدل رفتاری بر اساس معیار سخت شوندگی / نرم شوندگی است و می‌تواند یک رابطه تنش-کرنش واقعی را در لحظه گسیختگی و پس

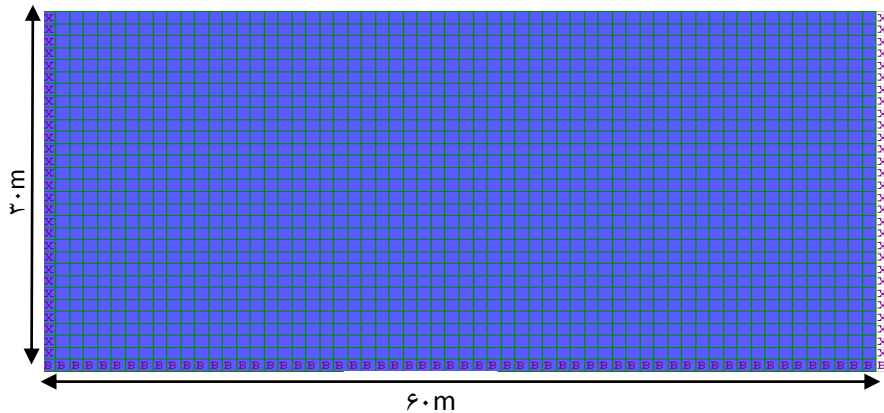
حداکثر چه مقدار از سنگ بستر تا سطح زمین افزایش خواهد یافت است که این ضریب در برخی مقالات نیز به عنوان ضریب بزرگنمایی حداکثر شتاب زمین نیز نامیده شده است.

## ۶- حرک ورودی

جهت انجام تحلیل‌های دینامیکی در این مطالعه، ۴ شتاب‌نگاشت از زلزله‌های مختلف دنیا در دو گروه زلزله‌های حوزه نزدیک و حوزه دور انتخاب شده‌اند. زلزله‌های مورد بررسی در این مطالعه شامل دو زلزله حوزه نزدیک Land و Northridge و دو زلزله حوزه دور Cape Mendocino و Loma Prieta ers می‌باشند که مشخصات شتاب‌نگاشت‌های انتخاب شده در جداول ۲ و ۳ مشخص شده است.

## ۷- مدل‌سازی دینامیکی

اولین مرحله مدل‌سازی دینامیکی تعیین هندسه مدل است که در این تحلیل مدل تفاصل محدود استفاده شده یک پروفیل خاک با توزیع احتمالاتی به ابعاد ۶۰ متر طول در ۳۰ متر عمق است که در شکل ۲ نشان داده شده است. مدل رفتاری مورد استفاده در مدل‌سازی، مدل رفتاری (CHSoil Simplified cyosoil) ارائه شده در



شکل ۲. هندسه و المان‌بندی پروفیل خاک در FLAC 2D

Fig. 2. Geometry and soil profile meshing in FLAC 2D

ضریب پواسون به مقادیر کوچک‌تر از  $0.49/0.49$  محدود می‌شود. بر این اساس مقدار مدول بالک الاستیک ( $K^e$ ) بین  $49.66G^e$  و  $\frac{2}{3}G^e$  محدود می‌شود. مقادیر پارامترهای به کار رفته در این مدل رفتاری در جدول ۴ مشخص شده است. همچنین برای اکثر خاک‌ها، نمودار تنش انحرافی در مقابل کرنش محوری به دست آمده در آزمایش سه محوری زهکشی شده را می‌توان با یک هذلولی تقریب زد. مدل CHSoil شامل قانون سخت شدن کرنش اصطکاکی برای در نظر گرفتن این رفتار است. در رابطه (۱۶) زاویه اصطکاک بسیج شده ( $\varphi_m$ ) برحسب کرنش برشی پلاستیک ( $\gamma^p$ )

ارائه می‌شود:

$$\sin \varphi_m = \frac{\sin \varphi_f}{R_f} \left( 1 - \frac{1}{1 + \gamma^p \frac{G^e}{p'_m} \frac{R_f}{\sin \varphi_f}} \right) \quad (13)$$

در رابطه فوق  $\varphi_f$  زاویه اصطکاک نهایی و  $R_f$  ضریب گسیختگی است که یک پارامتر ثابت کوچک‌تر از یک است که در اکثر موقع  $0.9/0.9$  در نظر گرفته می‌شود [۲۰]. رابطه (۱۳) در مدل CHSoil به منظور کالیبره کردن اصطکاک بسیج شده برحسب کرنش برشی پلاستیک استفاده می‌شود. استفاده از این قانون سخت شوندگی برای مدل‌سازی بارگذاری اولیه در آزمایش سه محوری، منحنی هذلولی تنش انحرافی در مقابل کرنش محوری را ایجاد می‌کند [۲۰]. مقادیر پارامترهای این مدل رفتاری در جدول ۴ آمده است.

از آن فراهم کند. همچنین این مدل بر عکس مدل موهر-کولومب وابستگی سختی به سطح تنش را در نظر می‌گیرد [۲۰]. رفتار الاستیک مدل CHSoil با استفاده از قانون هوک بیان می‌شود. بیان افزایشی این قانون برحسب تنش و کرنش اصلی به شکل زیر است:

$$\begin{aligned} \Delta \sigma'_1 &= \alpha_1 \Delta e_1^e + \alpha_2 (\Delta e_2^e + \Delta e_3^e) \\ \Delta \sigma'_2 &= \alpha_1 \Delta e_2^e + \alpha_2 (\Delta e_1^e + \Delta e_3^e) \\ \Delta \sigma'_3 &= \alpha_1 \Delta e_3^e + \alpha_2 (\Delta e_1^e + \Delta e_2^e) \end{aligned} \quad (14)$$

که در رابطه فوق  $\alpha_2 = K^e - \frac{2G^e}{3}$  و  $\alpha_1 = K^e + \frac{4G^e}{3}$  به ترتیب مدول برشی و بالک الاستیک وابسته به تنش هستند که به ترتیب با استفاده از روابط زیر محاسبه می‌شوند [۲۰]:

$$G^e = G_{ref} p_{ref} \left( \frac{p'_m}{p_{ref}} \right)^n \quad (15)$$

$$K^e = K_{ref} p_{ref} \left( \frac{p'_m}{p_{ref}} \right)^m \quad (16)$$

که در روابط فوق  $p'_m = (\sigma'_1 + \sigma'_2 + \sigma'_3)/3$  مقدار اولیه فشار مؤثر میانگین است،  $p_{ref}$  فشار مبدأ،  $G_{ref}$  و  $K_{ref}$  به ترتیب مدول برشی و مدول بالک مبدأ و  $n$  و  $m$  توان‌های ثابت هستند. در این مدل رفتاری، مقادیر

## جدول ۴. مشخصات آماری و احتمالاتی به کار رفته در مدل‌سازی دینامیکی [۲۰]

Table 4. Statistical and probabilistic characteristics used in dynamic modeling [21-23]

پارامتر آماری	نماد	مقدار پارامتر
وزن مخصوص خاک (کیلوگرم) مترمکعب	$\rho$	۱۸۵۰
ضریب پواسون	$v$	۰/۳
زاویه اصطکاک حداکثر (درجه)	$\varphi_f$	۳۰
زاویه اتساع نهایی (درجه)	$\psi_f$	۰/۱
چسبندگی (کیلو پاسکال)	$C$	۱۰
مدول برشی مینا (مگا پاسکال)	$G_{ref}$	۳۸/۵
مدول بالک مینا (مگا پاسکال)	$K_{ref}$	۸۳/۴
توان مدول برشی	$m$	۰/۵
توان مدول بالک	$n$	۰/۵
فشار مینا (کیلو پاسکال)	$p_{ref}$	۱۰/۱/۳
فشار مؤثر میانگین اولیه حداقل (کیلو پاسکال)	$p'_m$	۱
ضریب گسیختگی	$R_f$	۰/۹۵
ضریب تغییرات مدول برشی (%)	$COV_G$	۲۰، ۴۰، ۵۰
طول همبستگی در راستای افقی (متر)	$L_H$	۲۵، ۳۵، ۴۰
طول همبستگی در راستای قائم (متر)	$L_V$	۱۰، ۲۰، ۳

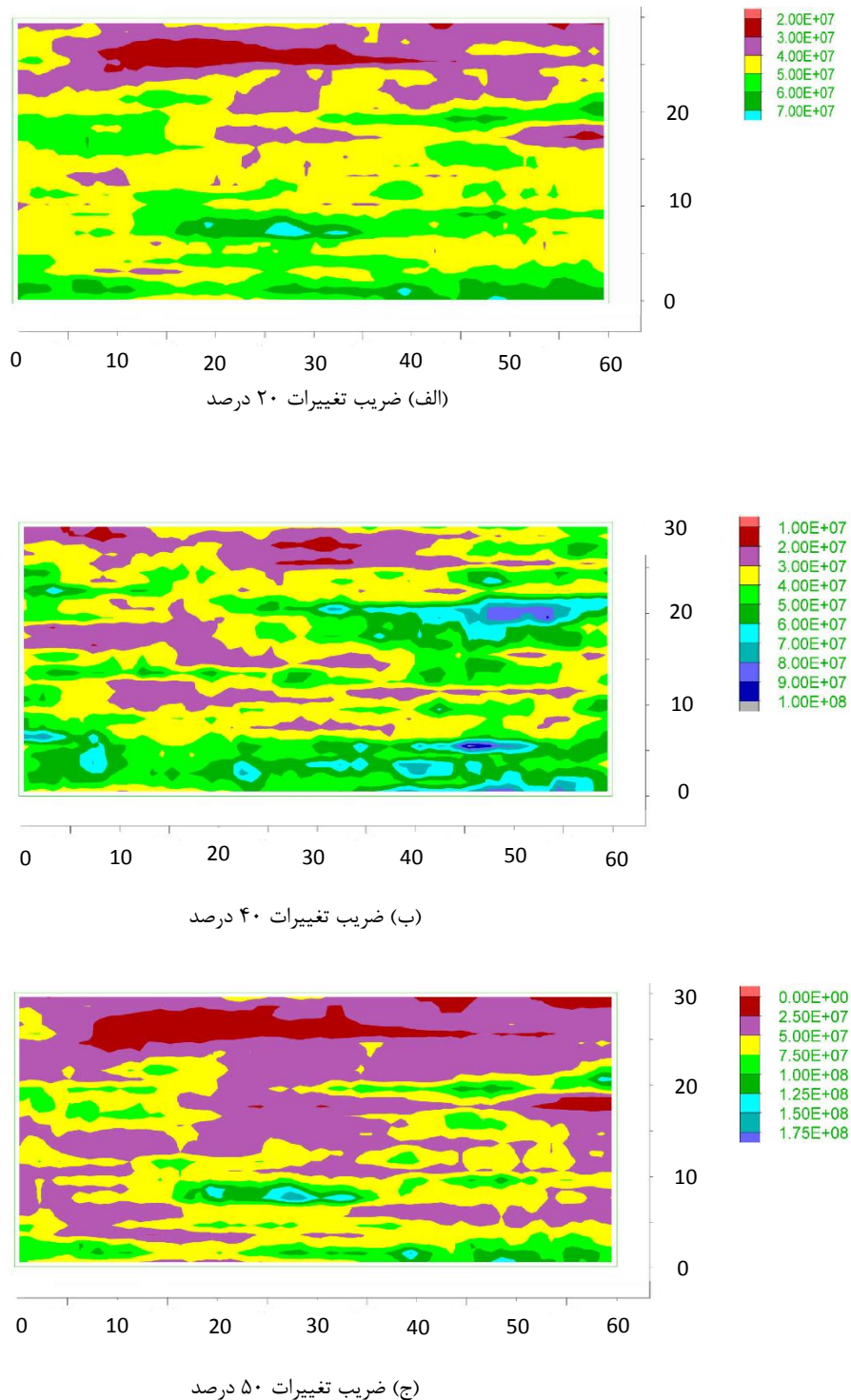
مونت کارلو است که نحوه محاسبه آن در ادامه آمده است. نمونه‌هایی از حقیقی‌سازی میدان تصادفی مدول برشی پروفیل خاک در نرم‌افزار FLAC 2D برای ضریب تغییرات ۲۰، ۴۰ و ۵۰ درصد مدول برشی در شکل ۳ نشان داده شده است. در این شکل مقادیر مدول برشی بر حسب پاسکال است و همان‌طور که مشاهده می‌شود با افزایش ضریب تغییرات مدول برشی بازه تغییرات مقادیر مدول برشی افزایش می‌یابد و پراکندگی مقادیر مدول برشی نیز افزایش می‌یابد. در هر بار اجرای کد FISH یک حقیقی‌سازی میدان تصادفی مدول برشی صورت گرفته و با انجام تحلیل‌های دینامیکی در میدان تصادفی مدول برشی بزرگنمایی دینامیکی (DAF) در هر بار تحلیل محاسبه می‌شود.

جهت تعیین تعداد کفايت حقیقی‌سازی مونت کارلو (n) تا زمانی باید فرایند حقیقی‌سازی مونت کارلو تکرار شود که مقادیر میانگین متحرک

همچنین پارامترهای احتمالاتی به منظور در نظر گرفتن تغییرپذیری مکانی مدول برشی خاک شامل ضریب تغییرات و فاصله همبستگی در دو راستای افق و قائم در جدول ۴ مشخص شده‌اند.

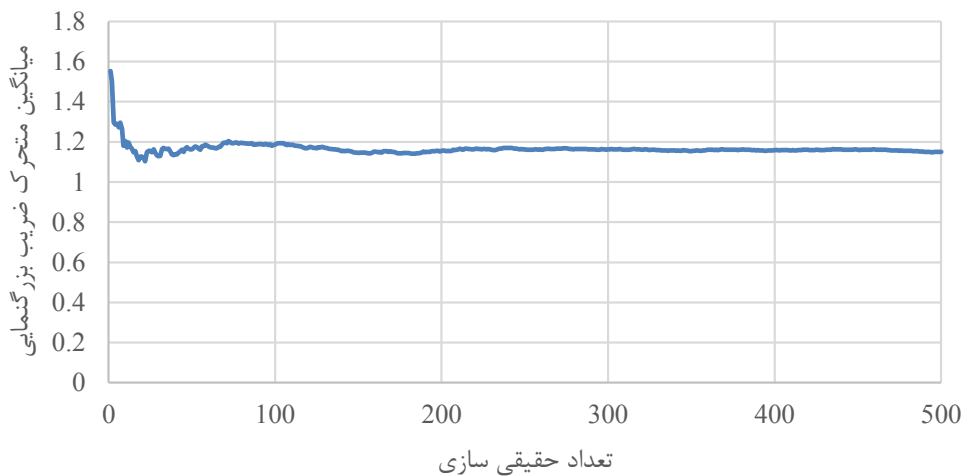
پایین مدل بر روی سنگ بستر انعطاف‌پذیر قوار گرفته که محرك لرزه‌ای ورودی به آن وارد می‌شود و در مزه‌های جانبی از المان‌های جاذب استفاده شده است. در مدل تفاضل محدود از المان‌هایی به بعد یک متر استفاده شده است و در مجموع ۱۸۰۰ المان مربعی به کار رفته است.

تحلیل‌های دینامیکی تصادفی در این مطالعه با در نظر گرفتن تغییرپذیری مکانی مدول برشی خاک با ایجاد یک کد FISH 2D در نرم‌افزار FLAC 2D صورت گرفته است. برای هر مجموعه‌ای از پارامترهای آماری و احتمالاتی ارائه شده در جدول ۴ شبیه‌سازی مونت کارلو با تکرار n مرتبه حقیقی‌سازی میدان تصادفی مدول برشی انجام می‌شود که n تعداد کفايت حقیقی‌سازی



شکل ۳. نمونه‌هایی از حقیقی‌سازی میدان تصادفی مدول برشی (Pa) پروفیل خاک برای ضریب تغییرات ۲۰، ۴۰ و ۵۰٪ درصد

**Fig. 3. Examples of realizing the random field of the shear modulus (Pa) of the soil profile for the coefficient of variation of 20, 40 and 50%**



شکل ۴. ارزیابی کفايت تعداد حقيقی سازی ها برای ضریب تغییرات مدول برشی ۵۰٪ و طول همبستگی در راستای افقی ۲۵ متر و در راستای قائم ۱ متر

**Fig. 4. Evaluation of the adequacy of the number of realizations for the coefficient of variation of the shear modulus of 50% and the correlation length in the horizontal direction of 25 meters and in the vertical direction of 1 meter**

همچنین نتایج ضریب بزرگنمایی شتاب زمین حاصل از تحلیل های یقینی در نرم افزار deepsoil نیز به منظور صحبت سنجی نتایج در جدول ۵ آورده شده است.

#### ۸- تحلیل های تصادفی

تحلیل های تصادفی انجام شده در این مطالعه در چهار گروه کلی (مربوط به چهار زلزله ورودی) قرار می گیرند. هر گروه شامل ضریب تغییرات مدول برشی ۲۰، ۴۰ و ۵۰ درصد با در نظر گرفتن طول های همبستگی مدول برشی افقی ۲۵، ۳۵ و ۴۰ متر و طول های همبستگی قائم ۱، ۲ و ۳ متر می باشد که در مجموع ۳۶ حالت مختلف برای تحلیل های دینامیکی آمده و برای هر حالت ۵۰۰ تحلیل با استفاده از حقیقی سازی مونت کارلو صورت گرفته است که بر این اساس تعداد ۱۸۰۰۰ تحلیل تصادفی انجام گرفته است. نمودارهای تغییرات میانگین ضریب بزرگنمایی مدل نسبت به ضریب تغییرات مدول برشی برای چهار زلزله دور و نزدیک در شکل ۵ آمده است. مشاهده می شود که با افزایش ضریب تغییرات مدول برشی، میانگین ضریب بزرگنمایی کاهش می یابد، لذا با افزایش میزان ناهمگنی در پروفیل خاک،

ضرایب بزرگنمایی به دست آمده به عددی ثابت همگرا شوند. شکل ۴ تغییرات میانگین متحرک ضریب بزرگنمایی دینامیکی را نسبت به تعداد حقیقی سازی های مونت کارلو برای ضریب تغییرات مدول برشی ۵۰ درصد نشان می دهد. ملاحظه می گردد پس از ۵۰۰ تکرار حقیقی سازی مقدار میانگین متحرک ضریب بزرگنمایی تغییر قابل توجهی ندارد و از آنجایی که ضریب تغییرات مدول برشی بیشترین مقدار را دارد و از ۵۰ درصد، با توجه به مطالب ذکر شده در بالا پراکندگی مقادیر مدول برشی به بیشترین مقدار خود می رسد (بدترین حالت)، بنابراین می توان نتیجه گرفت که تعداد ۵۰۰ حقیقی سازی مونت کارلو برای انجام تحلیل ها کفايت می کند.

#### ۸- تحلیل و بررسی نتایج ضریب بزرگنمایی شتاب زمین

##### ۸-۱- تحلیل های یقینی

تحلیل های یقینی ضریب بزرگنمایی شتاب زمین با در نظر گرفتن یک مقدار میانگین ثابت و یکنواخت مدول برشی  $G = 38.5 \text{ MPa}$  و برای چهار زلزله حوزه دور و نزدیک مشخص شده در بخش (۶) در نرم افزار FLAC 2D انجام گرفته است و نتایج آن به صورت جدول ۵ آمده است.

### جدول ۵. ضرایب بزرگنمایی شتاب زمین با در نظر گرفتن یک مقدار میانگین ثابت مدول برشی

**Table 5. Magnification coefficients of ground acceleration considering a constant average value of shear modulus**

ضرایب بزرگنمایی حداکثر زمین حاصل از نرم افزار <b>deepsoil</b>	ضرایب بزرگنمایی حداکثر شتاب زمین حاصل از نرم افزار <b>FLAC 2D</b>	نام زلزله و رویدی
۱/۴۷	۱/۶۱	Cape Mendocino
۱/۳۲	۱/۱۵	Northridge
۱/۵۹	۱/۴۹	Landers
۱/۱۲	۱/۱۶	Loma Prieta

مدول برشی بر روی طیف پاسخ شتاب مشخص شود. بدین منظور طیف پاسخ شتاب سطح پروفیل خاک حاصل از هر تحلیل تصادفی برای زلزله نمونه (Loma Prieta) به دست آورده شده و میانگین طیف پاسخ شتاب ۵۰۰ تحلیل انجام گرفته در هر حالت، محاسبه شده و مطابق با شکل‌های ۶ تا ۸ با طیف پاسخ شتاب سنگ بستر و همچنین طیف پاسخ شتاب در حالت یقینی و بدون در نظر گرفتن تغییرات مکانی پارامتر مدول برشی مقایسه شده است.

با بررسی شکل ۶ می‌توان مشاهده کرد که میانگین طیف‌های پاسخ شتاب سطح پروفیل خاک حاصل از تحلیل‌های تصادفی نسبت به طیف پاسخ شتاب سنگ بستر افزایش یافته است و طیف پاسخ شتاب با عبور امواج زلزله از میان پروفیل خاک و رسیدن به سطح زمین افزایش یافته است. همچنین با بررسی شکل ۷ مشاهده می‌شود که طیف پاسخ شتاب سطح در حالت یقینی و بدون در نظر گرفتن تغییرات مکانی مدول برشی، نسبت به میانگین طیف‌های پاسخ شتاب سطح حاصل از تحلیل‌های تصادفی افزایش یافته است و لذا می‌توان گفت که در تحلیل‌های یقینی طیف پاسخ شتاب سطح زمین بیش از حد برآورد شده است.

مقایسه میانگین طیف‌های پاسخ شتاب سطح برای ضریب تغییرات مدول برشی ۲۰، ۴۰ و ۵۰ درصد در شکل ۸ نشان می‌دهد که با افزایش ضریب تغییرات مدول برشی، میانگین طیف پاسخ شتاب سطح زمین کاهش می‌یابد، لذا با افزایش ناهمگونی در پروفیل خاک طیف پاسخ شتاب سطح پروفیل خاک نیز کاهش می‌یابد.

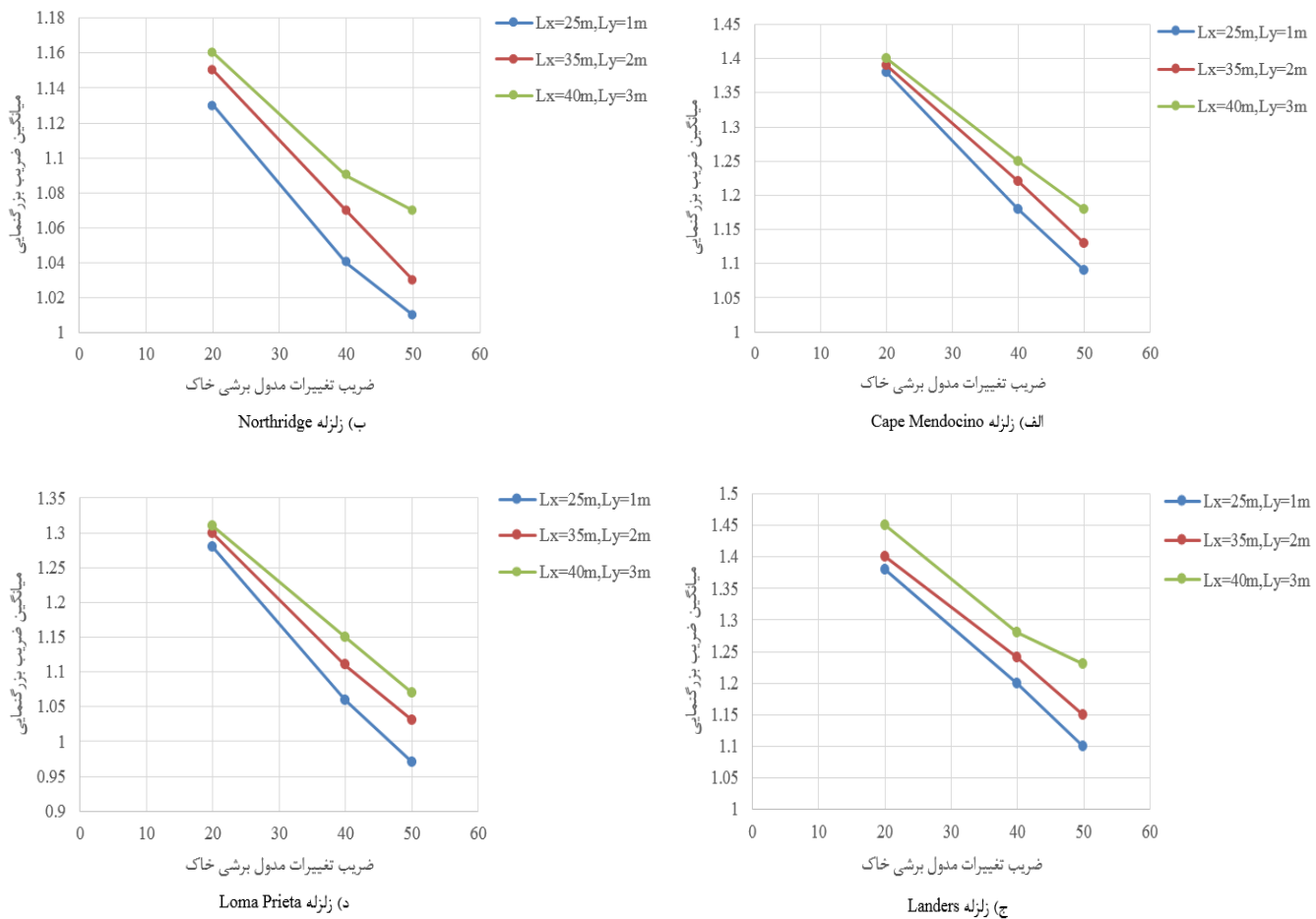
ضریب بزرگنمایی دینامیکی کاهش می‌یابد. همچنین ملاحظه می‌شود که با افزایش طول همبستگی مدول برشی که به معنی کاهش میزان ناهمگونی در پروفیل خاک است، میانگین ضریب بزرگنمایی شتاب زمین در تمامی حالات افزایش می‌یابد.

همچنین مشاهده می‌گردد هنگامی که در میدان تصادفی ایجاد شده ضریب تغییرات مدول برشی زیاد باشد، اثر پارامتر طول همبستگی اهمیت پیدا می‌کند و بالعکس زمانی که ضریب تغییرات مدول برشی کم باشد، اثر پارامتر طول همبستگی کاهش می‌یابد.

با مقایسه نمودارهای شکل ۵ با مقادیر جدول ۵ می‌توان به این نتیجه رسید که مقادیر ضریب بزرگنمایی شتاب زمین حاصل از تحلیل‌های یقینی بیشتر از مقادیر ضریب بزرگنمایی حاصل از تحلیل‌های تصادفی انجام شده است و این نشان دهنده برآورد بیش از حد مقادیر ضریب بزرگنمایی در تحلیل‌های یقینی است.

### ۹- تحلیل و بررسی نتایج طیف پاسخ شتاب پروفیل خاک

از آنجایی که طیف پاسخ نشان دهنده پاسخ سازه‌ها بر حرکات لرزه‌ای زمین است، در این تحقیق سعی شده است تا با بررسی میانگین طیف‌های پاسخ شتاب سطح زمین حاصل از تحلیل‌های تصادفی تحت اثر توزیع‌های مختلف پارامترهای احتمالاتی مدول برشی (ضریب تغییرات و طول همبستگی) و مقایسه آن با طیف پاسخ شتاب سطح زمین حاصل از تحلیل‌های یقینی و طیف پاسخ شتاب سنگ بستر، اثر تغییرات مکانی پارامتر



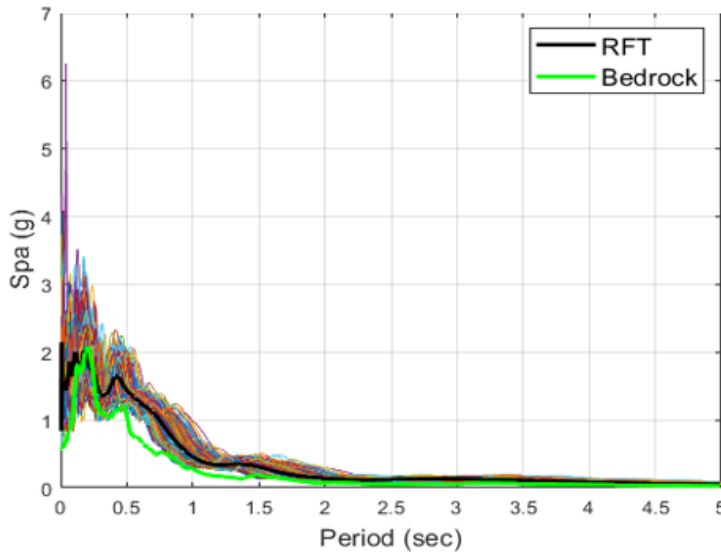
شکل ۵. نمودار تغییرات میانگین ضریب بزرگنمایی شتاب زمین نسبت به ضریب تغییرات بر اساس طول‌های همبستگی مختلف مدول برشی

**Fig. 5. The graph of changes in the average magnification factor of ground acceleration compared to the coefficient of variation based on different correlation lengths of the shear modulus**

تحلیل‌های یقینی مرسوم که در مدل از یک مقدار میانگین ثابت مدول برشی استفاده شده است، مقادیر ضریب بزرگنمایی ثابت می‌ماند و هیچ‌گونه تغییری نمی‌کند و اثرات ناهمگنی و تغییرپذیری مکانی خصوصیات خاک (ضریب تغییرات و طول همبستگی مدول برشی) در نظر گرفته نمی‌شود ولی در تحلیل‌های تصادفی با در نظر گرفتن پارامتر مدول برشی به عنوان پارامتری احتمالاتی در خاک که دارای تغییرپذیری مکانی است، در هر ضریب تغییرات و طول همبستگی، مدول برشی مقادیر ضرایب بزرگنمایی شتاب زمین متفاوت است و این نشان دهنده اثرات ناهمگنی و تغییرپذیری مکانی خصوصیات خاک بر روی ضریب بزرگنمایی شتاب زمین و به طور کلی بر روی پاسخ دینامیکی زمین است. مقایسه نتایج حاصل از تحلیل‌های

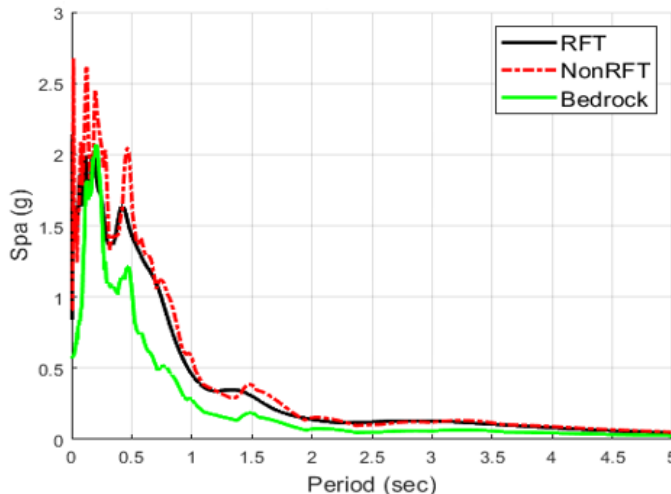
#### ۱۰- نتیجه‌گیری

هدف اصلی از انجام این مطالعه بررسی عدم قطعیت و تأثیر تغییرات مکانی ذاتی پارامتر مدول برشی خاک بر روی ضریب بزرگنمایی حداکثر شتاب زمین و طیف پاسخ شتاب سطح زمین است. بدین منظور با ترکیب تئوری میدان تصادفی و روش شبیه‌سازی مونت‌کارلو تحلیل تفاضل محدود انجام و با اعمال محرك‌های ورودی متفاوت نتایج حاصل مورد تحلیل و بررسی قرار گرفت. نتایج به دست آمده اهمیت در نظر گرفتن تغییرات مکانی ذاتی ویژگی‌های خاک را در بررسی پاسخ دینامیکی زمین نشان می‌دهد. با توجه به نتایج حاصل از تحلیل‌های تصادفی، ضریب بزرگنمایی دینامیکی و مقایسه آن با تحلیل‌های یقینی می‌توان این گونه نتیجه‌گیری کرد که در



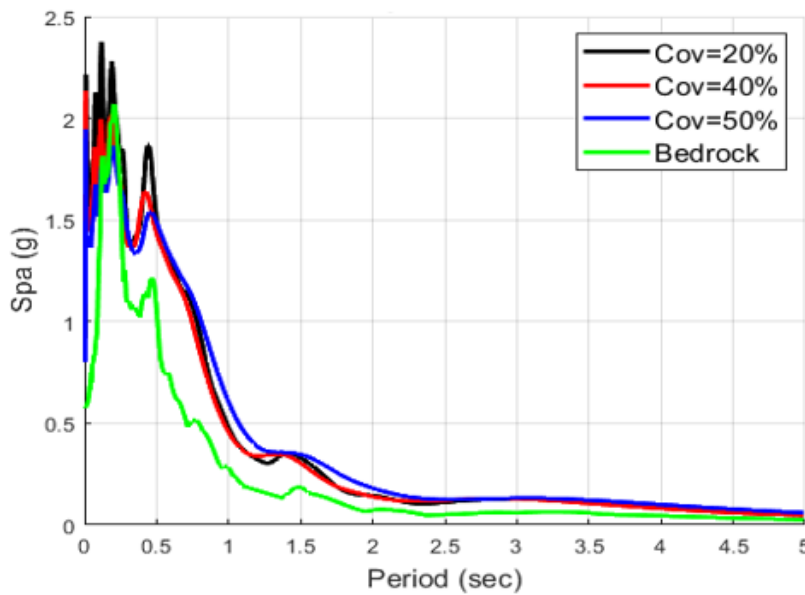
شکل ۶. مقایسه میانگین طیف‌های پاسخ شتاب سطح پروفیل خاک حاصل از تحلیل‌های تصادفی برای ضریب تغییرات ۲۰ درصد و طول همبستگی افقی ۲۵ متر و قائم ۱ متر با طیف پاسخ شتاب سنگ بستر در زلزله Loma Prieta

**Fig. 6. Comparison of the average acceleration response spectra of the surface soil profile obtained from random analyzes for the coefficient of variation of 20% and the horizontal correlation length of 25 meters and the vertical correlation length of 1 meter with the acceleration response spectrum of the bedrock for the Loma Prieta earthquake**



شکل ۷. مقایسه میانگین طیف‌های پاسخ شتاب سطح پروفیل خاک حاصل از تحلیل‌های تصادفی برای ضریب تغییرات ۲۰ درصد و طول همبستگی افقی ۲۵ متر و قائم ۱ متر با طیف پاسخ شتاب سطح پروفیل خاک در حالت یقینی و طیف پاسخ شتاب سنگ بستر در زلزله Loma Prieta

**Fig. 7. Comparison of the average acceleration response spectra of the surface soil profile obtained from random analyzes for the coefficient of variation of 20% and the horizontal correlation length of 25 meters and the vertical correlation length of 1 meter with the acceleration response spectrum of the surface soil profile in deterministic state and the acceleration response spectrum of the bedrock for the Loma Prieta earthquake**



شکل ۸. مقایسه میانگین طیف‌های پاسخ شتاب سطح پروفیل خاک ضرایب تغییرات مختلف برای طول همبستگی افقی ۲۵ متر و قائم ۱ متر در زلزله Loma Prieta

**Fig. 8. Comparison of the average response spectra of surface soil profile acceleration of different coefficients of variation for the horizontal correlation length of 25 meters and vertical correlation length of 1 meter for the Loma Prieta earthquake**

## منابع

- [1] T.-T. Tran, S.R. Han, D. Kim, Effect of probabilistic variation in soil properties and profile of site response, *Soils and Foundations*, 58(6) (2018) 1339-1349.
- [2] G.W. Rathod, K.S. Rao, K.K. Gupta, Monte Carlo Simulation for modelling uncertainties in ground response analysis, *Japanese Geotechnical Society Special Publication*, 2(19) (2016) 709-714.
- [3] E.E. Haber, C. Cornou, D.Y. Abdelmassih, D. Jongmans, T. Al-Bittar, F. Lopez-Caballero, Effect of the 2D Spatial Variability of Linear Soil Properties on the Variability of Surface Ground Motion Coherency, in: *Geotechnical Earthquake Engineering and Soil Dynamics V: Seismic Hazard Analysis, Earthquake Ground Motions, and Regional-Scale Assessment*, American Society of Civil

یقینی با تحلیل‌های تصادفی صورت گرفته در این تحقیق نشان می‌دهد که نادیده گرفتن تغییرات مکانی مدول برشی خاک در تحلیل‌های یقینی منجر به برآورد بیش از حد ضریب بزرگنمایی شتاب زمین و طیف پاسخ شتاب سطح پروفیل خاک خواهد شد. نتایج نشان می‌دهد که با افزایش ضریب تغییرات مدول برشی و در نتیجه افزایش ناهمگنی در پروفیل خاک مقادیر ضریب بزرگنمایی شتاب زمین و همچنین طیف پاسخ شتاب سطح پروفیل خاک کاهش می‌باید. همچنین با افزایش طول همبستگی در جهات افقی و قائم و در نتیجه کاهش ناهمگنی در پروفیل خاک ضرایب بزرگنمایی شتاب زمین افزایش می‌باید. با بررسی میانگین طیف‌های پاسخ شتاب سطح پروفیل خاک حاصل از تحلیل‌های تصادفی و مقایسه آن‌ها با طیف پاسخ شتاب سنگ بستر می‌توان به این نتیجه رسید که طیف‌های پاسخ شتاب سطح پروفیل خاک با عبور امواج زلزله از میان پروفیل خاک و رسیدن به سطح نسبت به طیف پاسخ شتاب سنگ بستر افزایش می‌یابند.

- Anisotropic Soils using  
Random Field Theory, Master's thesis, Guilan University, 2012.
- [14] R. Popescu, G. Deodatis, A. Nobahar, Effects of random heterogeneity of soil properties on bearing capacity, Probabilistic Engineering Mechanics, 20(4) (2005) 324-341.
- [15] B. Sunardi, J. Nugraha, Peak Ground Acceleration at Surface and Spectral Acceleration for Makassar City Based on a Probabilistic Approach, Jurnal Meteorologi dan Geofisika, 17(1) (2016).
- [16] A. Tuncel, Ö.C. Özdag, E. Pamuk, M. Akgün, Comparison of the soil dynamic amplification factor and soil amplification by using microtremor and MASW methods respectively, in: IOP Conference Series: Earth and Environmental Science, IOP Publishing, 2017, pp. 032006.
- [17] P. Plengsiri, L.Z. Mase, S. Likitlersuang, Influence of ground variation on site amplification factor of Bangkok subsoils, Master's thesis, Department of Civil Engineering, Chulalongkorn University, 2018.
- [18] K. Bajaj, P. Anbazhagan, Ground motion site amplification factors for deep soil deposits sites in Indo-Gangetic Basin, (2017).
- [19] A.T. Council, Quantification of building seismic performance factors, US Department of Homeland Security, FEMA, 2009.
- [20] F. Itasca, FLAC-Fast Lagrangian Analysis of Continua, Version. 8.0, in, Itasca Consulting Group, Inc. Minneapolis, 2016.
- Engineers Reston, VA, 2018, pp. 348-358.
- [4] K.-K. Phoon, F.H. Kulhawy, Characterization of geotechnical variability, Can Geotech J, 36(4) (1999) 612-624.
- [5] A. Nobahar, Effects of soil spatial variability on soil-structure interaction, Doctoral (PhD) Thesis, Faculty of Engineering and Applied Science, Memorial University of Newfoundland, 2003.
- [6] H. Kim, Spatial variability in soils: stiffness and strength, PhD Thesis, Faculty of Civil and Environmental Engineering, Georgia Institute of Technology, 2005.
- [7] E.H. Vanmarcke, Probabilistic modeling of soil profiles, Journal of the geotechnical engineering division, 103(11) (1977) 1227-1246.
- [8] D.V. Griffiths, G. Fenton, Risk assessment in geotechnical engineering, John Wiley&Sons, Inc, (2008) 381-400.
- [9] A. Ahmed, Simplified and advanced approaches for the probabilistic analysis of shallow foundations, PhD thesis, University of Nantes, 2012.
- [10] F. Uribe Castillo, Probabilistic analysis of structures using stochastic finite elements, Universidad Nacional de Colombia-Sede Manizales, 2015.
- [11] H.S. Lizarraga, C.G. Lai, Effects of spatial variability of soil properties on the seismic response of an embankment dam, Soil Dyn Earthq Eng, 64 (2014) 113-128.
- [12] H. El-Ramly, N. Morgenstern, D. Cruden, Probabilistic stability analysis of a tailings dyke on presheared clay shale, Can Geotech J, 40(1) (2003) 192-208.
- [13] R. Alaie, Slope Stability Analysis in Heterogeneous and

چگونه به این مقاله ارجاع دهیم

H. Nikpoor, A. Bazrafshan Moghaddam, Effect of uncertainty of soil parameters on the dynamic response of soil using random field theory, Amirkabir J. Civil Eng., 54(11) (2023) 4189-4204.

DOI: [10.22060/ceej.2022.20229.7372](https://doi.org/10.22060/ceej.2022.20229.7372)



